

信州大学工学部
正員

正員

富井 五郎
荒木 正夫

1 まえがき 風により流れが流動するとき、河底近くの流れは水面と逆方向となることがある。このようすの場合の数値解析モデルとしては、潮流解析などで一般に行なわれているように鉛直方向に流速を一定とするのではなく、何らかの形で鉛直方向の流速分布を考慮するもの、つまり三次元モデルでなければならぬ。本研究はFEMにより風による流れの流動の三次元非定常解析を行なうものであるが、サムル未知量数2近似度をあげるために鉛直方向には節点のない連続関数 ψ 、水平方向には従来のようす多項式による試験関数を用いる。鉛直方向の連続関数 ψ は二つには多項式と三角関数の二つを考へ、該流域を解析対象にしてこの二つの場合の解の近似度を検討するとともに実際の三次元非定常解析を行なう。

2 基礎式とその離散化 水深が浅く、流れの緩やかな湖の流動を支配する方程式は¹⁾ $\partial u / \partial t + f v = -1/\rho \cdot \partial p / \partial x + K \cdot \partial^2 u / \partial z^2 - (1)$, $\partial v / \partial t + f u = -1/\rho \cdot \partial p / \partial y + K \cdot \partial^2 v / \partial z^2 - (2)$, $\partial = -1/\rho \cdot \partial p / \partial z - g - (3)$, $\partial u / \partial x + \partial v / \partial y + \partial w / \partial z = 0 - (4)$ で、境界条件は水面 $z = 0$ で $K \cdot \partial u / \partial z = \bar{u}x$, $K \cdot \partial v / \partial z = \bar{v}y$, 河底 $z = -h$ で $u = v = w = 0.0$ である。ここで u, v, w は x, y, z 方向の流速で x , y は静水面内で東、北を正方向とし、 z は鉛直方向に静水面を $z = 0.0$ 以上と正方向とする。また p は圧力、 ρ は水の密度、 K は鉛直混合係数、 g は重力の加速度、 $\bar{u}x, \bar{v}y$ は水面に作用する風による x, y 方向のせん断応力である。ここで密度を鉛直方向に一定、つまり流れを一層流と仮定し、さらに鉛直混合係数も鉛直方向に一定とする。³⁾ 式(3)を z 方向に積分し、大気圧 $P_0 = 101325$ Pa とすると $p = P_0 - \rho g \cdot (z + h)$ となる。これを(1), (2)式に代入すると(1), (2), (4)式は u, v, w を未知量とする連立方程式となる。ここで流れを定常とすると式は x 方向に積分 $\int dz$ 、得られた式は二次元モデルと同様に解くことができる。この半解剖的方法(以下これによる解を半解剖解という)については前に述べた。²⁾ しかし非定常項が入ると z 方向に積分できぬため、ここでFEMにより直接三次元解析を行なう。連立方程式をまず空間方向に離散化するためにつぎのようす試験関数を考へる。 $u = (1+z/h) \cdot N_i \cdot U_{i,i} + (1+z/h)^2 \cdot N_i \cdot U_{i,i} - (5)$, $v = (1+z/h) \cdot N_i \cdot V_{i,i} + (1+z/h)^2 \cdot N_i \cdot V_{i,i} - (6)$, $z = N_i \cdot z_i - (7)$ 。ここで N_i は x, y 方向の形状関数で、(6)は三節点三角形要素のものである。 x, y 方向の関数 $(1+z/h), (1+z/h)^2$ の頂は流れをえ、この二次元として時間的に得られる関数形で、あるいは項数で最もよく鉛直方向の流速分布を近似できるもののはいかかと考えこの関数形とした。さらに鉛直方向の位置の流速分布を近似できるものとして $u = (\cos \pi z/h) \cdot N_i \cdot U_{i,i} + (\cos 3\pi z/h) \cdot N_i \cdot U_{i,i} + \dots - (8)$, $v = (\cos \pi z/h) \cdot N_i \cdot V_{i,i} + (\cos 3\pi z/h) \cdot N_i \cdot V_{i,i} + \dots - (9)$ $z = N_i \cdot z_i - (10)$ を考へた。うちの流速に対する試験関数は河底での境界条件を自動的に満足していい。ここの $(1+z/h)N_i, (1+z/h)^2N_i, N_i \cdot U_{i,i}, (\cos \pi z/h)N_i, (\cos 3\pi z/h)N_i, \dots, N_i \cdot V_{i,i}$ を離散化すると $\partial \psi / \partial z + K \psi = F - (11)$ となる。ここで ψ は u, v, w を成分とする列ベクトル

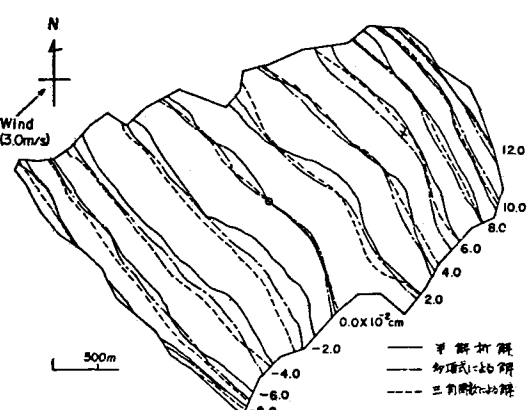


図-1 水面位 (○EP点 0.0 cm)

マトリックスである。つぎに時間方向の離散化法として標準近似法があるが、これは一次の時間形状関数を用いる方法によった。この時(11)式は $(C/\Delta t + 2/3 \cdot K) \cdot \text{垂れ} + (-C/\Delta t + 1/3 \cdot K) \cdot \text{垂れ} = 2/6 \Delta t \cdot \int_{t_0}^{t_0+\Delta t} F \cdot dt - (12)$ となる。この式は差分法を用いて離散化した時の Crank-Nicolson 型のスキーム $(C/\Delta t + \theta \cdot K) \cdot \text{垂れ} + (-C/\Delta t + (1-\theta) \cdot K) \cdot \text{垂れ} = \theta F \cdot \text{垂れ} + (1-\theta) F_{\Delta t}$, $0 \leq \theta \leq 1$ (13) における $\theta = 2/3$ としたものと右因で同じである。(13)式は $1/2 \leq \theta \leq 1$ の時逆条件であるので(12)式も無条件である。 (12)式を用い、ある初期状態より Δt ステップごとに全ての時刻における解を求めることが出来る。

3 半解析解との比較 試験函数として(5), (6), (7)式を用いる方法(以下この方法による解を多項式による解という)と(8), (9), (10)式を用いる方法(以下この方法による解を三角関数による解といふ)による解の近似度を検討するため諺訪湖を対象にして半解析解との比較を行なう。ただし(8), (9)式は二項式である。解析条件は流れを定常とし、風速 3 m/sec の SW の風が湖面全体に一様に連続して吹くこと、湖への流入出力を全く無視し、ヨリ湖岸での流速を全て 0.0 とした。また $K = 2.3 \text{ cm}^2/\text{sec}$, $T_a = T_g = 0.092 \text{ g/cm} \cdot \text{sec}^2$ の値を用いた。

以上による結果として図-1 に水位、図-2 に図-1 の \times 印点の鉛直方向の流速分布を示す。

これによると多項式による解の方が半解析解に近く、近似度がよいと言える。

部分的にかなりの誤差があるが、これらの方法による未知数は三次元的にメッシュを粗大場合に鉛直方向に二つの点を取るのと同じで、これを考へるとこの程度の誤差は妥当なものと思われる。また近似度を上げるために試験函数にもっと多くの項を入れればよいのであるが、これは今検討中である。

4 非定常解析 解析条件は風がない状態に急に風速 3 m/sec の SW の風が湖全体に一様に連続して吹く場合で、他の条件は(3)と同様である。時間さざめ Δt (はじめの 5 ステップを 100 sec とし、その後は 200 sec , 400 sec と段階的に増加させた)。図-3 に風が吹き始めてから各時刻における図-1 の \times 印点の鉛直方向の流速分布を示す。これは多項式による解で、三角関数による解でも同じような結果が得られる。図より風が吹き始めは水面上近い風下側に流れられ、これがした川に発達し、その後風下側の水面に昇るようと思われる。諺訪湖附近の風向と逆方向の流れがしないに発達し、定常流れに近づくことがわかる。また諺訪湖は風が吹き始めてから 5~6 時間ぐらいいつ定常状態になると思われる。他の詳しいことは諺訪時に発表する。

1) J.A. Liggett, et al : Circulation in Shallow Homogeneous Lakes, ASCE, HY2, (1969)

2) 余越富介：諺訪湖の地形に関する研究, 31回年譲(1976)

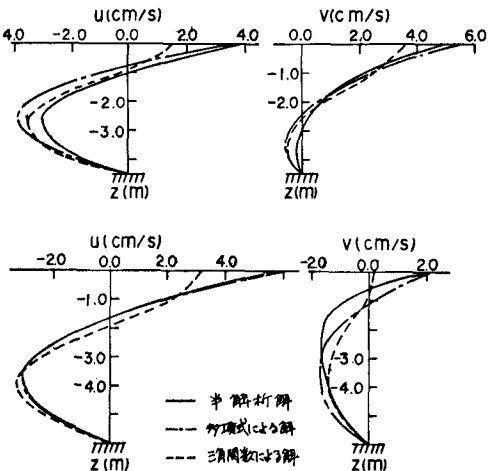


図-2 流速分布(上図、図-1の \times 印点、下図、 \circ 印点)

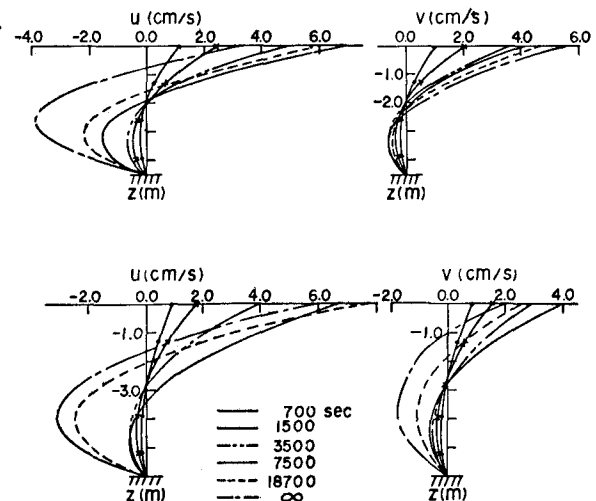


図-3 流速分布の変化(上図、図-1の \times 印点、下図、 \circ 印点)